

(132) 17%Cr鋼板のスキンパス圧延時に発生するさざ波模様

新日本製鐵 光製鐵所 ○ 荒川基彦 山口美紀
菜畠和三 工博 大岡耕之

目的 17%Crステンレス鋼の冷延焼鉄板をスキンパス圧延すると、その条件によって著しいさざ波模様が表面に発生する。このさざ波模様は圧延方向に直角に現れるもので鋼板の表面性状としては一種の欠陥となる。このためさざ波模様の発生形態、さざ波模様に影響を与える因子、またさざ波模様と降伏現象との関係を明らかにするために現場のスキンパスミルを用いて実験を行なった。

方法 冷延焼鉄された0.5mm厚の17%Crステンレス鋼板(巾=950mm)2コイルを供試材とした。使用したミルは4段でWR径は464mmである。スキンパス伸び率の変化は、張力、圧延速度を一定にし圧下量のみを変えた場合、張力、圧下量を一定にし圧延速度のみを変えた場合の2通りについて行ない、また圧延はDryとWetの両方について実験した。一方さざ波模様の観察は塩酸、過酸化水素、アリセリン、水の混合液による歪パターン現出により行ない、降伏現象については周藤¹⁾、Hahn²⁾の方法により整理した。(1)周藤;塑性と加工 4(1963)611 (2) Hahn; Acta Met. 10(1962)727)

結果 (1). Wet圧延の場合さざ波模様のピッチ巾は鋼板の板厚をもとする時 $2t/N$ (N :自然数)の関係にあり、スキンパス伸び率が大きくなるとピッチは減少する。さざ波模様の形態は図1に示すように変形部(高転位密度)と未変形部(低転位密度)の領域から構成されており、板厚方向には表面から約45度の角度で変形部領域が存在し、表面では両領域が圧延方向に対して直角になっている。一方Dry圧延の場合はさざ波模様は0.4mm程度のピッチを有するが、その形態は明確でなく板巾方向の分布にも規則性はない。

(2). スキンパス伸び率の増加につれて下降伏見(σ_L)は低下するが σ_L が最底となる伸び率はWetの場合1%前後、Dryでは0.4%程度である。この時の σ_L の低下量はDry圧延の方が大きい。(図2)

(3). 圧延速度が大きくなると圧下力も増すがこの時 Dry 圧延ではスキンパス伸び率が低下し、Wet 圧延では逆に増加する。(図3)これは Dry 圧延では圧延変形抵抗の増加が圧延摩擦係数の負の増分より大きいことに、また Wet 圧延では摩擦係数の増分の方が負で大きいことに依るものと考えられる。

(4). Wet圧延時のさざ波模様発生による降伏現象伸びおよび降伏見の低下について

i) S-S曲線の最大荷重見における歪を ε_u 、その時の引張強さを σ_B とすると、 $n = \varepsilon_u$, $\sigma = R \cdot E^n$ の関係から。

$$\varepsilon_L \approx \frac{n}{2} \left(\frac{\sigma_L}{\sigma_B} \right)^{\frac{1}{n}} \quad (1) \quad \begin{aligned} &(\text{n: 加工硬化係数}) \\ &\varepsilon_L: \text{降伏見伸び} \end{aligned}$$

しかしさざ波模様が存在すると $\varepsilon_{L(obs)}$ との不一致が生じる。したがってさざ波模様の変形、未変形部を考慮し、 $\varepsilon_{L(cal)}$ を補正することにより、 $\varepsilon_{L(obs)}$ とよく合うようになる。

ii) 一方降伏見については(1)式と $\sigma_L = C \cdot \varepsilon_L^a$, $\dot{\varepsilon} \cdot l = m \cdot \sigma_L \cdot \varepsilon_L$ の両式から次式(2)が導かれ、この式から実測値はかなりうまく説明される。 $m \cdot \varepsilon_L^{a/n} = K \quad (2)$ ($\dot{\varepsilon}$: 歪速度, $l = GL$, m : ハーデス前線数, σ_L : 前線速度, a, C : 定数)

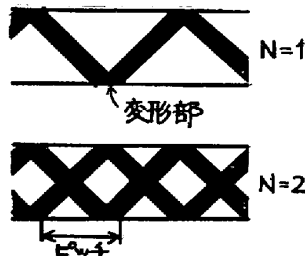


図1. さざ波模様のL断面の模式的表現

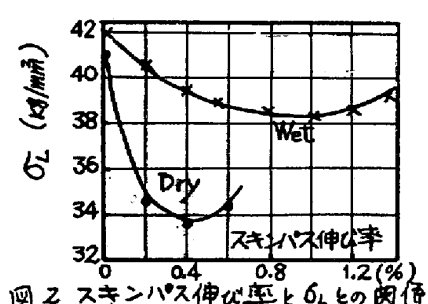


図2. スキンパス伸び率と ε_L との関係

